

УДК 543.4:54.412.2

ОПТИЧЕСКИЕ И ЦВЕТОМЕТРИЧЕСКИЕ ХАРАКТЕРИСТИКИ КОМПЛЕКСА ПАЛЛАДИЯ(II) С 1-НИТРОЗО-2-НАФТОЛ-3,6-ДИСУЛЬФОКИСЛОТОЙ

В.М. Иванов, Т.О. Самарина, В.Н. Фигуровская

(кафедра аналитической химии; e-mail: mvonavi@mail.ru)

Спектрофотометрическим методом найдены оптимальные условия комплексообразования палладия(II) с 1-нитрозо-2-нафтол-3,6-дисульфокислотой (рН 1,2–3,8; 5-кратный избыток реагента). Определены аналитические и цветометрические характеристики комплекса в интервале концентраций палладия $(0,94\text{--}8,59)\times10^{-5}$ М, $\epsilon = (9,80\pm0,02)\times10^3$ ($n = 9, P = 0,95$). Из цветометрических функций наиболее чувствительны G и Z , их молярные коэффициенты равны соответственно $(7,6\pm0,1)\times10^5$ и $(5,6\pm0,2)\times10^5$ ($n = 5, P = 0,95$).

Ключевые слова: цветометрия, комплексообразование, палладий(II), 1-нитрозо-2-нафтол-3,6-дисульфокислота.

Нитрозонафтоловы образуют комплексы со многими переходными металлами. В водных растворах эти соединения находятся в оксимной форме. Ионизованная оксимная группа может координировать ион металла либо по атому азота, либо по атому кислорода, вследствие этого с карбонилоксимиами реагируют также элементы, способные взаимодействовать с кислородсодержащими лигандами [1].

Электронная структура карбонильных групп нитрозонафтолов существенно влияет на их реакционную способность. Так, заряд на атоме кислорода у 1-нитрозо-2-нафтола выше, чем у 2-нитрозо-1-нафтола, что определяет большую реакционную способность первого. Введение электроотрицательных заместителей (сульфогрупп) способствует снижению электронной плотности на атомах кислорода и азота оксимной группы, что проявляется в меньшей реакционной способности и устойчивости комплексных соединений сульфопроизводных нитрозонафтолов [1-нитрозо-2-нафтол-3,6-дисульфокислоты (нитрозо-Р-соль, НРС), 1-нитрозо-2-нафтол-4-сульфокислоты (нитрозо-Н-соль)] с ионами металлов. В то же время введение сульфогрупп в молекулы нитрозонафтолов дает ряд преимуществ: хорошую растворимость в воде, устойчивость водных растворов реагента во времени [1–4].

Изучены комплексы НРС с некоторыми из благородных металлов VIII группы: Ru(III, IV) [5–9], Rh(III) [1, 8–12], Pt(II) [1], Pd(II) [1, 8–10, 13–16], Os(II) [1, 5, 8–10], Ir(IV) [1]. Соотношение Me:R не

превышает 1:3*. Литературные данные по комплексообразованию палладия(II) с НРС противоречивы. Оптимальная кислотность комплексообразования определена в интервале значений рН: 3,0–6,5 [8]; 2,0–2,6 [12]; 1,0–5,6 [15]; 2,0–11,0 [14]. В проведенных работах не учтено влияние ионной силы растворов, зависимость оптической плотности от времени нагревания растворов, отмечено образование комплексов разной стехиометрии и влияние состава буферных растворов на скорость протекания реакции.

Для спектрофотометрического обнаружения и определения палладия(II) более широкое применение нашли α -диоксимины из-за более высокой чувствительности и селективности по сравнению с монооксимиами. Цветометрические характеристики комплекса палладия(II) с НРС в литературе отсутствуют, но по аналогии с цветными комплексами других металлов [17, 18] можно предположить, что они лучше фотометрических характеристик.

Цель данной работы – выбор оптимальных условий комплексообразования палладия(II) в присутствии хлорид-ионов с НРС, определение цветометрических характеристик и оценка перспектив использования их в аналитической химии.

Экспериментальная часть

Аппаратура. Оптическую плотность измеряли на фотоколориметре КФК-3-01 ($l = 1,0$ см); спектры диффузного отражения и цветометрические характеристики – на фотоколориметре «Спектротон» (ОКБА

* Приводится не во всех работах.

«Химавтоматика», Чирчик) ($l = 0,5$ см). Измеряли следующие цветометрические функции: X , Y , Z – координаты цвета в системе XYZ; L , A , B – координаты цвета в системе CIELAB; L , S , T – светлота, насыщенность и цветовой тон соответственно; W – показатель белизны; G – показатель желтизны. pH контролировали на универсальном иономере ЭВ-74 (стеклянный электрод ЭСЛ-43-07).

Растворы. Исходный раствор хлорида палладия(II) (2 мг/мл) приготовлен растворением точной навески PdCl_2 «ч.д.а.» в 0,1 М HCl. Рабочий раствор палладия(II) (20 мкг/мл) готовили разбавлением исходного в 0,1 М HCl. Нитрозо-Р-соль ($1,00 \times 10^{-3}$ М раствор) приготовлен растворением 189 мг препарата «ч.д.а.» в воде и разбавлением водой до 500 мл в мерной колбе. Кислотность создавали 0,5 М раствором CH_3COONa и 0,1 М HCl квалификации чистоты «ос.ч.».

Методика. В градуированные пробирки емкостью 20 мл вводили 1–9 мл (с интервалом 1 мл) раствора палладия(II) (20 мкг/мл) на 0,1 М HCl, 8,5 мл $1,00 \times 10^{-3}$ М раствора НРС, 9–1 мл 0,1 М HCl (общее содержание хлорид-ионов 0,05 М) и необходимое количество 0,5 М раствора CH_3COONa . После разбавления водой до метки и перемешивания контролировали pH, измеряли оптическую плотность и цветометрические характеристики.

Расчеты. Молярные коэффициенты поглощения и молярные коэффициенты цветометрических функций (МКЦФ) рассчитаны стандартными методами, уравнения градуировочных графиков фотометрического и цветометрического вариантов обработаны методом наименьших квадратов с помощью программы Microsoft Excel 2003.

Результаты и их обсуждение

Спектры поглощения растворов комплекса палладия(II) и реагента, полученные в оптимальных для комплексообразования условиях (рис. 1), имеют два максимума поглощения при 370 и 510 нм. В ли-

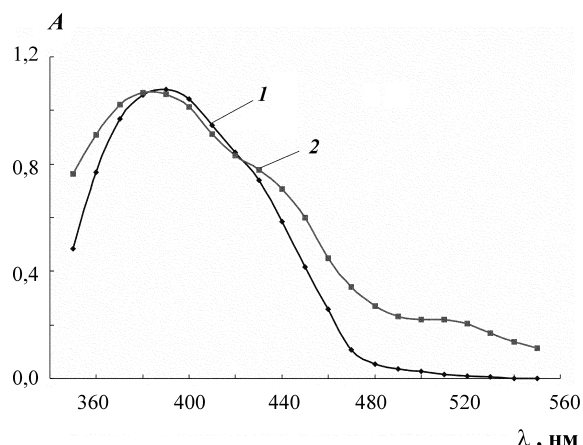


Рис. 1. Спектры поглощения растворов НРС (1) и комплекса Pd(II) с НРС (2) при pH 2,0 [$1,50 \times 10^{-4}$ М НРС; $2,34 \times 10^{-5}$ М Pd(II)]

тературе спектры поглощения таких комплексов детально не описаны. В видимой области реагент имеет максимумы поглощения при 370 и 430 нм [4], из-за сильного наложения спектров поглощения оптимальные условия комплексообразования изучали при 510 нм по отношению к воде, где светопоглощение реагента практически равно нулю.

Влияние кислотности среды изучали на фоне ацетатного буферного раствора. Содержание палладия было постоянным (2,5 мл 20 мкг/мл Pd(II) в 0,1 М HCl); 7,5 мл 0,1 М HCl ($I = 0,05$), 3 мл 1×10^{-3} М НРС (7-кратный избыток реагента), вводили от 0,5 до 2,5 мл 0,5 М раствора CH_3COONa , конечный объем 20 мл. Растворы выдерживали 60 мин и фотометрировали при 510 нм. Оптическая плотность (A) максимальна и постоянна в интервале pH 1,2–3,8. При значениях pH $> 3,8$ образуется аморфный осадок (табл. 1).

Оптимальную концентрацию НРС выбирали при pH 2,0. Содержание палладия было постоянным (2,5 мл 20 мкг/мл Pd(II) в 0,1 М HCl), 7,5 мл 0,1 М HCl и необходимое количество 0,5 М раствора CH_3COONa , объем 1×10^{-3} М раствора НРС варьи-

Таблица 1

Зависимость оптической плотности A от значения pH

| | | | | | | | | | | | | |
|-----|-------|-------|-------|-------|-------|-------|-------|-------|-------|-------|-------|-------|
| A | 0,215 | 0,319 | 0,318 | 0,315 | 0,317 | 0,316 | 0,315 | 0,318 | 0,316 | 0,317 | 0,315 | 0,314 |
| pH | 0,90 | 1,20 | 1,37 | 1,62 | 1,81 | 2,05 | 2,16 | 2,24 | 2,61 | 2,97 | 3,31 | 3,80 |

ровали от 0,1 мл до 5,0 мл, конечный объем 20 мл. Растворы выдерживали 60 мин и фотометрировали при 510 нм. Для количественного образования комплекса достаточно 3 мл 1×10^{-3} раствора НРС. Стхиометрический состав образующегося комплекса установлен методом молярных отношений (метод «насыщения») [19]. Обработкой кривой насыщения по реагенту установлено образование комплекса стхиометрии Me:R = 1:2 (рис. 2).

Зависимость оптической плотности растворов от нагревания изучали в оптимальных условиях комплексообразования ($\text{pH } 2,0; 2,34 \times 10^{-5} \text{ M Pd(II)}$, $1,5 \times 10^{-4} \text{ M HPC}$, $I = 0,05$) при характеристических длинах волн реагента (370 нм) и комплекса (510 нм), варьируя время нагревания растворов от 0,5 до 7,0 мин (рис. 3). Отмечено убывание оптической плотности при нагревании более 1,5 мин, что объясняется разрушением комплекса. В то же время оптическая плотность при 370 нм возрастает. Оптимальное время нагревания для количественного образования комплекса составило 1,5 мин.

Подчинение закону Бера наблюдается в диапазоне содержаний палладия $(0,94\text{--}8,46) \times 10^{-5} \text{ M}$ (20–180 мкг в 20 мл раствора) при 510 нм. Уравнение градуировочных графиков имеет вид:

$$A = 0,10 \times 10^5 C + 0,04, \quad (1)$$

$$A = 0,47 \times 10^4 C + 0,04. \quad (2)$$

Здесь C – концентрация Pd(II) в М (1) и мкг в 20 мл (2).

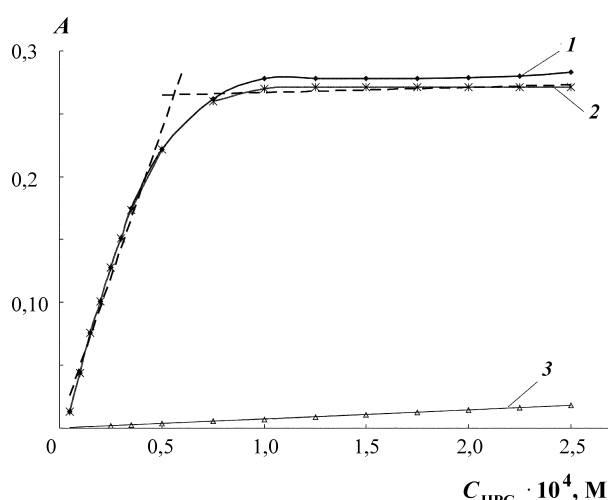


Рис. 2. Кривая насыщения комплекса Pd(II) с НРС по реагенту: 1 – без поправки на поглощение реагента, 2 – с учетом поправки на поглощение реагента, 3 – светопоглощение реагента ($2,34 \times 10^{-5} \text{ M Pd(II)}$, $\text{pH } 2,0$, $\lambda = 510 \text{ нм}$)

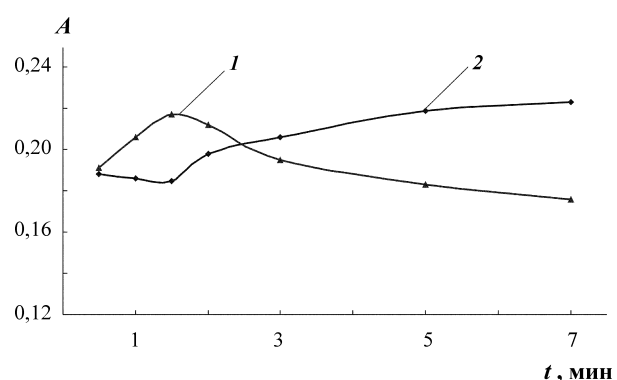


Рис. 3. Зависимость оптической плотности растворов комплекса Pd(II) с НРС от времени нагревания ($1,50 \times 10^{-4} \text{ M HPC}$; $2,34 \times 10^{-5} \text{ M Pd(II)}$; $\text{pH } 2,0$; $\lambda, \text{ нм}: 1 - 510; 2 - 370$)

Молярный коэффициент поглощения равен $(9,80 \pm 0,02) \times 10^3$ ($n = 9$, $P = 0,95$). Это свидетельствует о средней чувствительности, что также отмечено в литературе: $\varepsilon = 1,1 \times 10^4$ [16] и $\varepsilon = 2,0 \times 10^4$ [1]. Ранее [17, 18] были определены цветометрические характеристики 3d-переходных металлов и показано их увеличение в 20–100 раз по сравнению с молярными коэффициентами поглощения. С целью повышения чувствительности определения палладия(II) мы использовали также цветометрию как альтернативный метод измерения аналитического сигнала [20].

Цветометрические характеристики для комплекса приведены в табл. 2. Цветометрические функции линейны в концентрационном интервале $(2,82\text{--}6,56) \times 10^{-5} \text{ M}$ (60–140 мкг в 20 мл раствора).

Молярные коэффициенты цветометрических функций рассчитывали аналогично молярным коэффициентам поглощения. Они увеличиваются в следующей последовательности:

$$G > Z > Y > W > T > B > S > X > A > L.$$

Уравнения градуировочных графиков и МКЦФ приведены в табл. 3. Наиболее чувствительны функции G [$(7,6 \pm 0,1) \times 10^5$], Z [$(5,6 \pm 0,2) \times 10^5$] ($n = 5$, $P = 0,95$).

При изучении комплекса цветометрическим методом установлено увеличение чувствительности аналитической реакции в 20–80 раз по сравнению с фотометрическим вариантом, но диапазон линейности составляет $(2,82\text{--}6,56) \times 10^{-5} \text{ M}$ (60–140 мкг в 20 мл раствора).

Однако цветометрический метод имеет ряд преимуществ перед спектрофотометрическим – не требует монохроматизации светового потока, прибор

Таблица 2

Цветометрические функции для комплекса палладия(II) с НРС

| Функция* | 0 | 20 | 40 | 60 | 80 | 100 | 120 | 140 | 160 | 180 |
|--------------------------|--------|--------|--------|-------|-------|-------|-------|-------|-------|--------|
| R_{510} | 0,892 | 0,792 | 0,705 | 0,626 | 0,560 | 0,501 | 0,445 | 0,397 | 0,352 | 0,319 |
| X | 81,04 | 77,47 | 74,18 | 71,13 | 68,42 | 66,10 | 63,50 | 61,41 | 59,37 | 57,64 |
| Y | 89,55 | 84,24 | 79,34 | 74,83 | 70,78 | 67,3 | 63,67 | 60,37 | 57,32 | 54,82 |
| Z | 65,89 | 56,60 | 48,92 | 41,7 | 35,99 | 31,33 | 26,67 | 22,82 | 19,37 | 16,8 |
| L | 95,81 | 93,56 | 91,38 | 89,31 | 87,38 | 85,65 | 83,79 | 82,04 | 80,36 | 78,93 |
| A | -12,60 | -9,99 | -7,26 | -4,65 | -2,10 | 0,28 | 2,80 | 5,20 | 7,68 | 9,66 |
| B | 28,13 | 32,37 | 36,06 | 40,20 | 43,66 | 46,77 | 50,26 | 53,42 | 56,67 | 59,25 |
| S | 30,85 | 33,88 | 36,79 | 40,47 | 43,71 | 46,77 | 50,34 | 53,67 | 57,19 | 60,04 |
| T | 114,20 | 107,10 | 101,40 | 96,64 | 92,79 | 89,61 | 86,75 | 84,38 | 82,24 | 80,68 |
| W | 68,85 | 65,51 | 62,21 | 58,14 | 54,50 | 51,08 | 47,11 | 43,40 | 39,53 | 36,37 |
| G | 37,84 | 46,48 | 54,32 | 62,60 | 69,82 | 76,36 | 83,55 | 90,13 | 96,74 | 102,00 |
| $C_{\text{Pd(II)}}^{**}$ | 0 | 0,94 | 1,88 | 2,82 | 3,76 | 4,70 | 5,64 | 6,58 | 7,52 | 8,46 |

* По горизонтали приведено содержание палладия, мкг в 20 мл раствора; ** по горизонтали приведена равновесная концентрация палладия, $M \times 10^5$.

Таблица 3

Уравнения градуировочных графиков и МКЦФ для комплекса палладия(II) с НРС
($C_{\text{Pd(II)}} = (2,82-6,56) \times 10^{-5} M, n = 5, P = 0,95$)

| Функция | Уравнение градуировочного графика | МКЦФ $\times 10^{-5}$ | s_r |
|---------|-----------------------------------|-----------------------|-------|
| X | $-2,59 \times 10^5 C + 78,29$ | 2,74 | 0,05 |
| Y | $-3,83 \times 10^5 C + 85,41$ | 4,06 | 0,07 |
| Z | $-5,01 \times 10^5 C + 55,24$ | 5,63 | 0,20 |
| L | $-1,93 \times 10^5 C + 94,70$ | 1,99 | 0,02 |
| A | $2,62 \times 10^5 C - 11,99$ | 2,65 | 0,01 |
| B | $3,52 \times 10^5 C + 30,34$ | 3,67 | 0,06 |
| S | $3,51 \times 10^5 C + 30,48$ | 3,53 | 0,03 |
| T | $-3,25 \times 10^5 C + 105,31$ | 3,74 | 0,15 |
| W | $-3,92 \times 10^5 C + 69,28$ | 3,93 | 0,03 |
| G | $7,32 \times 10^5 C + 42,097$ | 7,59 | 0,09 |

выдает усредненное значение изучаемых цветовых характеристик, что обуславливает надежность резуль-

татов и возможности применения цветометрии в аналитической практике [20].

СПИСОК ЛИТЕРАТУРЫ

1. Пешкова В.М., Савостина В.М., Иванова Е.К. Аналитические реагенты. Оксимы. М., 1977.
2. Klooster Van H.S. //J. Amer. Chem. Soc. 1921. **43**. Р. 746.
3. Барбалат Ю.А. Дис. ... канд. хим. наук. М., 1975.
4. Иванов В.М., Мамедова А.М., Фигуровская В.Н., Ершова Н.И., Барбалат Ю.А., Чинь Тхи Туэт Май // ЖАХ. 2006. **61**. С. 620.
5. Хольцбехер З., Дивии Л., Крал М., Шуха Л., Влачил Ф. Органические реагенты в неорганическом анализе. М., 1979.
6. Ланская С.Ю., Башилов А.В., Золотов Ю.А. // Вестн. Моск. ун-та. Сер. 2. Химия. 2006. **47**. С. 182.
7. Ланская С.Ю., Башилов А.В. // Вестн. Моск. ун-та. Сер. 2. Химия. 2006. **47**. С. 257.
8. Nath S., Agarwal R.P. // Chimie analytique. 1965. **47**. Р. 257.
9. Nath S., Agarwal R.P. // Chimie analytique. 1966. **48**. Р. 439.
10. Умланд Ф., Янсен А., Тиринг Д., Вюнни Г. Комплексные соединения в аналитической химии. М., 1975.
11. Марченко З.А., Бальцежак М.А. Методы спектрофотометрии в УФ и видимой областях в неорганическом анализе. М., 2007.
12. Маркова Л.С., Савостина В.М., Пешкова В.М. // ЖАХ. 1974. **29**. С. 1378.
13. Бимиши Ф. Аналитическая химия благородных металлов. М., 1969.
14. Sandal L., Dey A.K. // Z. Anal. Chem. 1960. **202**. S. 348.
15. Креймер С.Е., Бутылкин Л.П., Стогова А.В. // ЖАХ. 1960. **15**. С. 467.
16. Shamir J., Schwartz A. // Talanta. 1961. **8**. Р. 330.
17. Иванов В.М., Чинь Тхи Туэт Май, Фигуровская В.Н., Мамедова А.М., Ершова Н.И. // ЖАХ. 2006. **61**. С. 932.
18. Иванов В.М., Фигуровская В.Н., Ершова Н.И., Мамедова А.М., Чинь Тхи Туэт Май // ЖАХ. 2007. **62**. С. 364.
19. Бугатов М.И., Калинкин И.П. Практическое руководство по фотоколориметрическим и спектрофотометрическим методам анализа. Л., 1972.
20. Иванов В.М., Кузнецова О.В. // Усп. хим. 2001. **70**. С. 411.

Поступила в редакцию 10.06.09

OPTICAL AND CHROMATICITY CHARACTERISTICS OF PALLADIUM(II) COMPLEX WITH 1-NITROSO-2-NAPHTHOL-3,6-DISULFONIC ACID

V.M. Ivanov, T.O. Samarina, V.N. Figurovskaya

(Division of Analytical Chemistry)

Optimal conditions of complexation palladium(II) with 1-nitroso-2-naphthol-3,6-disulfonic acid were found by spectrophotometric method (an optimum interval pH 1,2–3,8, the five-multiple surplus reagent). Analytical characteristic of a complex in an interval concentration of palladium(II) $(0,94 - 8,46) \times 10^{-5}$ M are determined, $\epsilon = (9,80 \pm 0,02) \times 10^3$ ($n = 9$, $P = 0,95$). The function and molar coefficient of chromaticity are determined. The most sensitive functions are $G [(7,6 \pm 0,1) \times 10^5]$ и $Z [(5,6 \pm 0,2) \times 10^5]$ ($n = 5$, $P = 0,95$).

Key words: chromaticity, complexformation, palladium(II), 1-nitroso-2-naphthol-3,6-disulfonic acid.

Сведения об авторах: Иванов Вадим Михайлович – профессор кафедры аналитической химии химического факультета МГУ, докт. хим. наук (mvonavi@mail.ru; (495) 939-22-77); Самарина Татьяна Олеговна – аспирант кафедры аналитической химии химического факультета МГУ ((495) 939-22-77); Фигуровская Валентина Николаевна – науч. сотр. кафедры аналитической химии химического факультета МГУ, канд. хим. наук ((495) 939-22-77).